



# Lévy NMF

## Un modèle robuste de séparation de sources non-négatives

Paul Magron, Roland Badeau, Antoine Liutkus

XXVIe colloque Grets

8 septembre 2017

# Séparation de sources

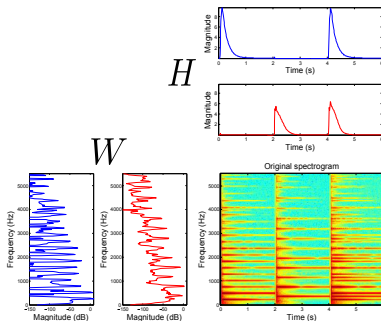
- Problème : extraire les  $X_k$ ,  $k \in \{1, \dots, K\}$  qui forment un mélange :

$$X = \sum_k X_k$$

- Données non-négatives : spectrogrammes audio, images, spectres de fluorescence...
- De nombreuses méthodes : PCA, ICA, NMF...



# Factorisation en matrices non-négatives



- Approches probabilistes : les sources sont des variables aléatoires ;
- Maximum de vraisemblance  $\leftrightarrow$  Minimisation d'une fonction d'erreur entre  $X$  et  $WH$ .

# Robustesse

Les distributions traditionnelles n'ont pas une queue lourde : pas de robustesse aux valeurs aberrantes.

→ Lois stables :

- Stabilité et robustesse...
- ... pas non-négatives en général.

But : **Un modèle de données non-négatives robuste pour la séparation de sources**



# Sommaire

- 1 Modèle de Lévy NMF
- 2 Estimation des paramètres
- 3 Évaluation expérimentale



## 1 Modèle de Lévy NMF

## 2 Estimation des paramètres

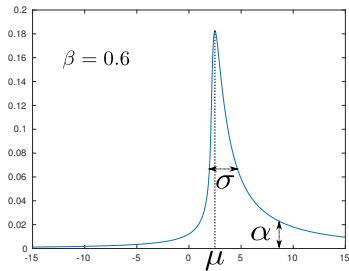
## 3 Évaluation expérimentale



# Distributions stables

Distributions à **queue lourde**  
Lois **Symétriques**  $\alpha$ -stables  
( $S\alpha S$ ) :  $\beta = 0$ .

**Stabilité** : une somme de variables stables est stable.



Cas particuliers :

- Gaussien :  $\alpha = 2$  et  $\beta = 0$  ;
- Cauchy :  $\alpha = 1$  et  $\beta = 0$  ;
- Lévy :  $\alpha = 1/2$  et  $\beta = 1$  ;



# Distributions Positives $\alpha$ -stables

En général, le support des lois stables est  $\mathbb{R}$  (ou  $\mathbb{C}$ ).

Pour  $\beta = 1$  et  $\alpha < 1$ , le support  $[\mu; +\infty[$ .

→ Lois **Positive**  $\alpha$ -**stables** ( $P\alpha S$ ) :

$$P\alpha S(\sigma) = S(\alpha, 0, \sigma, 1), \text{ avec } \alpha < 1.$$

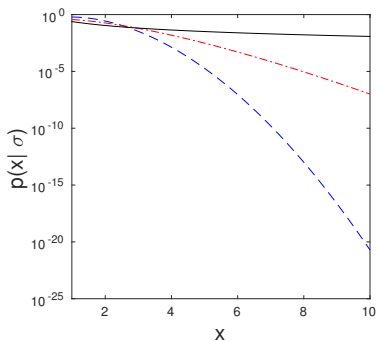
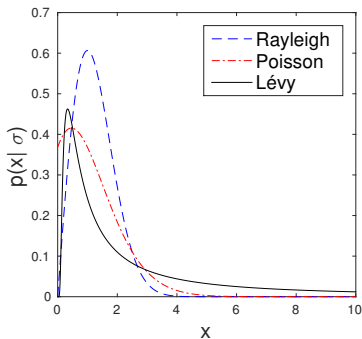
Loi de Lévy ( $\alpha=1/2$ ) :

$$p(x \mid \sigma) = \begin{cases} \sqrt{\frac{\sigma}{2\pi}} \frac{1}{x^{3/2}} e^{-\frac{\sigma}{2x}} & \text{si } x > 0 \\ 0 & \text{sinon.} \end{cases}$$





# Distributions Positives $\alpha$ -stables



# Modèle de mélange

- Données non-négatives  $X \in \mathbb{R}_+^{F \times T}$  :  $X = \sum_k X_k$ .
- Coefficients TF indépendants et de Lévy :

$$X_k(f, t) \sim \mathcal{L}(\sigma_k(f, t))$$

$$\rightarrow X \sim \mathcal{L}(\sigma) \text{ avec } \sqrt{\sigma} = \sum_k \sqrt{\sigma_k}.$$

- NMF sur les paramètres de dispersion :

$$\sqrt{\sigma} = WH,$$

$$\text{où } W \in \mathbb{R}_+^{F \times K} \text{ et } H \in \mathbb{R}_+^{K \times T}.$$

→ Modèle de **Lévy NMF**.



1 Modèle de Lévy NMF

2 Estimation des paramètres

3 Évaluation expérimentale



# Maximum de Vraisemblance (MV)

Estimation MV des paramètres  $W$  et  $H$  :

$$\begin{aligned} L(W, H) &= \sum_{f,t} \log(p(X(f, t); \sigma(f, t))) \\ &\stackrel{c}{=} \frac{1}{2} \sum_{f,t} \log([WH](f, t)^2) - \frac{[WH](f, t)^2}{X(f, t)} \\ &\stackrel{c}{=} -\frac{1}{2} d_{IS}([WH]^{\odot 2}, X), \end{aligned}$$

MV  $\leftrightarrow$  Minimiser la divergence d'Itakura-Saito entre  $[WH]^{\odot 2}$  et  $X$



# Approche heuristique

Décomposition du gradient de  $\mathcal{C}$  par rapport à  $\theta$  ( $= W$  ou  $H$ ) :

$$\frac{\partial \mathcal{C}}{\partial \theta} = \nabla_{\theta}^{+} - \nabla_{\theta}^{-}, \text{ avec } \nabla_{\theta}^{+} > 0 \text{ et } \nabla_{\theta}^{-} > 0.$$

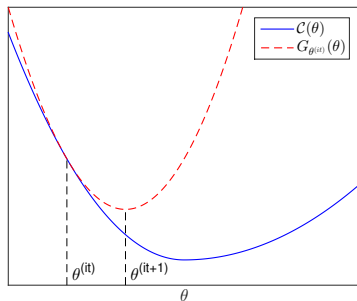
Mise à jour :

$$\theta \leftarrow \theta \odot \frac{\nabla_{\theta}^{-}}{\nabla_{\theta}^{+}}$$

- Pas de garantie de décroissance de la fonction de coût ;
- En pratique, cela marche pour de nombreux modèles NMF...
- ... mais pas pour Lévy.



# Majoration-Minimisation



- Fonction auxiliaire  $G$  :

$$\forall(\theta, \bar{\theta}), C(\theta) \leq G_{\bar{\theta}}(\theta), \text{ and } C(\bar{\theta}) = G_{\bar{\theta}}(\bar{\theta})$$

- Mise à jour  $\theta^{(it+1)} = \arg \min_{\theta} G_{\theta^{(it)}}(\theta)$



# Majoration-Minimisation

- $G$  est obtenue grâce à des inégalités de convexité ;
- Pour Lévy NMF :

$$W \leftarrow W \odot \left( \frac{[WH]^{\odot -1} H^T}{([WH] \odot X^{\odot -1}) H^T} \right)^{\odot 1/2}$$

et

$$H \leftarrow H \odot \left( \frac{W^T [WH]^{\odot -1}}{W^T ([WH] \odot X^{\odot -1})} \right)^{\odot 1/2}$$

- Mises à jour similaires que par l'heuristique, avec exposant  $1/2$ .
- Garantie de décroissance de la fonction de coût.



# Lévy NMF vs. ISNMF

Si  $K = 1$  et  $W(f) = 1 \forall f$  :

$$H_{\text{IS}}(t) \leftarrow \frac{1}{F} \sum_f X(f, t), \quad H_{\text{Lévy}}(t) \leftarrow \sqrt{\frac{F}{\sum_f \frac{1}{X(f, t)}}}.$$

- ISNMF  $\rightarrow$  moyenne **arithmétique** ;
- Lévy NMF  $\rightarrow$  moyenne **harmonique** (et  $\sqrt{\phantom{x}}$ ).

Si  $F = 10$ , et  $X(f, t) = 1$  sauf pour une entrée :  $X(f_0, t_0) = 10^8$  :

$$H_{\text{IS}}(t_0) \leftarrow 10^7, \quad H_{\text{Lévy}}(t_0) \leftarrow 1.05.$$

$\rightarrow$  **Robustesse de Lévy NMF**





# Estimation des sources

- Estimateur naturel :  $\hat{X}_k = \mathbb{E}_{X_k|X}(X_k)$ .
- Pour toute distribution  $P_{\alpha S}$  :

$$\hat{X}_k = \frac{\sigma_k^\alpha}{\sum_l \sigma_l^\alpha} \odot X \quad (1)$$

→ **Filtrage de Wiener généralisé**

- Pour Lévy NMF :

$$\hat{X}_k = \frac{W_k H_k}{\sum_l W_l H_l} \odot X \quad (2)$$



1 Modèle de Lévy NMF

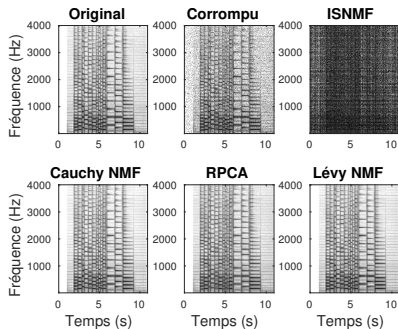
2 Estimation des paramètres

3 Évaluation expérimentale



# Restauration de spectrogrammes musicaux

- Données : 6 morceaux de guitare ;
- Spectrogrammes corrompus par des bruits impulsionnels.
- Modèles appris directement sur les données corrompues ;
- La localisation du bruit est inconnue.



# Restauration de spectrogrammes musicaux

- Résultats (log-divergence de Kullback-Leibler entre spectrogrammes originaux et estimés) :

ISNMF	KLNMF	Cauchy NMF	RPCA	Lévy NMF
9.0	6.2	3.4	3.6	<b>3.2</b>



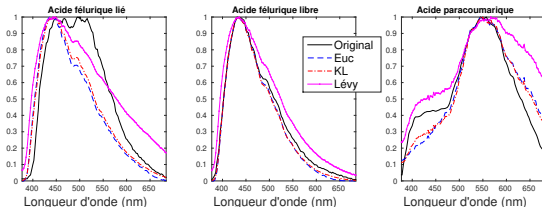
- NMFs "classiques" (IS et KL) : mauvais résultats ;
- Lévy NMF est comparable à d'autres méthodes robustes.

# Spectroscopie de fluorescence

Spectres d'excitation-émission d'un mélange de composants = somme des spectres purs  $W$  pondérée par leurs concentrations  $H$ .

→ identifier les espèces et leurs concentrations.

- Données :  $T = 400$  spectres,  $F = 128$  fréquences,  $K = 3$  composantes.



# Spectroscopie de fluorescence

Corrélation entre Oracle et sources estimées (%) :

	Euc	KL	Lévy
Acide férulique lié	82.8	85.3	<b>87.8</b>
Acide férulique libre	99.5	99.4	<b>99.6</b>
Acide paracoumarique	97.3	98.1	<b>98.4</b>

**Potentiel de Lévy NMF pour décomposer des données non-négatives.**



# Conclusion

## Un modèle robuste de données non-négatives

- Nombreux domaines d'application : fouille de données, physique appliquée, classification d'images...
- Extension du filtre de Wiener aux données non-négatives.

## Recherches futures

- Estimation MAP : à priori sur les paramètres (parcimonie, continuité temporelle...);
- Généralisation aux modèles  $P\alpha S$  ou inverse-Gamma.

